

# REGIONE SARDEGNA

Provincia della Città Metropolitana di Cagliari (CA)

## COMUNE DI VILLASOR



| REV. | DESCRIZIONE                | DATA     | REDATTO    | CONTROL. | APPROV.    |
|------|----------------------------|----------|------------|----------|------------|
| 1    | EMISSIONE PER ENTI ESTERNI | 24/09/21 | FURNARI G. | FURNO C. | NASTASI A. |
| 0    | EMISSIONE PER COMMENTI     | 12/07/21 | FURNARI G. | FURNO C. | NASTASI A. |

Committente:

**IBERDROLA RENEVABLES ITALIA S.p.A.**



Sede legale in Piazzale dell'Industria, 40, 00144, Roma  
Partita I.V.A. 06977481008 - PEC: iberdrolarenovablesitalia@pec.it

Società di Progettazione:

*Ingegneria & Innovazione*



Via Jonica, 16 - Loc. Belvedere - 96100 Siracusa (SR) Tel. 0931.1663409  
Web: [www.antexgroup.it](http://www.antexgroup.it) e-mail: [info@antexgroup.it](mailto:info@antexgroup.it)

Progetto:

**PARCO EOLICO DI "VILLASOR"**

Progettista/Resp. Tecnico

Dott. Ing. Cesare Furno  
Ordine degli Ingegneri  
della Provincia di Catania  
n° 6130 sez. A

Elaborato:

RELAZIONE GEOTECNICA

Scala:

NA

Nome DIS/FILE:

C20018S05-PD-RT-04-01

Allegato:

1/1

F.to:

A4

Livello:

**DEFINITIVO**

Il presente documento è di proprietà della ANTEX GROUP srl.  
È vietato la comunicazione a terzi o la riproduzione senza il permesso scritto della suddetta.  
La società tutela i propri diritti a rigore di Legge.



## INDICE

|   |   |
|---|---|
| 1. PREMESSA.....  | 3 |
| 2. DESCRIZIONE GENERALE DELL'OPERA.....                           | 3 |
| 3. NORMATIVA DI RIFERIMENTO.....                                  | 3 |
| 4. INDAGINI E CARATTERIZZAZIONE GEOTECNICA.....                   | 4 |
| 4.1. Prove effettuate e Caratterizzazione geotecnica .....        | 4 |
| 4.2. Idrogeologia.....  | 5 |
| 4.3. Problematiche riscontrate.....                               | 5 |
| 5. MODELLAZIONE GEOTECNICA E PERICOLOSITA' SISMICA DEL SITO ..... | 5 |
| 5.1. Modellazione geotecnica.....                                 | 6 |
| 5.2. Pericolosità sismica.....                                    | 6 |
| 6. SCELTA TIPOLOGICA DELLE OPERE DI FONDAZIONE .....              | 8 |
| 7. VERIFICHE DI SICUREZZA .....                                   | 8 |
| 7.1. Carico limite per i pali.....                                | 8 |

## 1. PREMESSA

Su incarico di IBERDROLA Renovables Italia S.p.A., la società Antex Group Srl ha redatto il progetto definitivo relativo alla realizzazione di un impianto eolico nei comuni di Villasor e Decimoputzu, nella provincia della Città Metropolitana di Cagliari.

Il progetto prevede l'installazione di n. 10 nuovi aerogeneratori con potenza unitaria di 5,6 MW, per una potenza complessiva di impianto di 56 MW.

Gli aerogeneratori saranno collegati alla nuova Stazione di trasformazione Utente, posta nel comune di Villasor (CA), tramite cavidotti interrati con tensione nominale pari a 30 kV.

La stazione di trasformazione utente riceverà l'energia proveniente dall'impianto eolico a 30 kV e la eleverà alla tensione di 150 kV.

Tutta l'energia elettrica prodotta verrà ceduta alla rete tramite collegamento in antenna a 150 kV, previa condivisione dello stallo in stazione con altri produttori, su un nuovo stallo a 150 kV da realizzare presso la Stazione Elettrica (SE) di Trasformazione a 220/150 kV della RTN, denominata "Villasor", la cui autorizzazione è oggetto di altra iniziativa (benessere requisiti tecnici richiesto da altro produttore nominato capofila in sede di tavolo tecnico con Terna).

Le attività di progettazione definitiva e di studio di impatto ambientale sono state sviluppate dalla società di ingegneria Antex Group Srl.

Antex Group Srl è una società che fornisce servizi globali di consulenza e management ad Aziende private ed Enti pubblici che intendono realizzare opere ed investimenti su scala nazionale ed internazionale.

È costituita da selezionati e qualificati professionisti uniti dalla comune esperienza professionale nell'ambito delle consulenze ingegneristiche, tecniche, ambientali e gestionali.

Sia Antex che Iberdrola pongono a fondamento delle attività e delle proprie iniziative, i principi della qualità, dell'ambiente e della sicurezza come espressi dalle norme ISO 9001, ISO 14001 e OHSAS 18001 nelle loro ultime edizioni.

Difatti, in un'ottica di sviluppo sostenibile proprio e per i propri clienti e fornitori, le Aziende citate posseggono un proprio Sistema di Gestione Integrato Qualità-Sicurezza-Ambiente.

## 2. DESCRIZIONE GENERALE DELL'OPERA

La presente relazione geotecnica riguarda le indagini, la caratterizzazione e modellazione geotecnica del "volume significativo" per l'opera in esame e valuta l'interazione opera/terreno ai fini del dimensionamento delle relative fondazioni.

Questa relazione è stata redatta sulla base dei dati risultanti dalle prove di campagna e/o di laboratorio.

## 3. NORMATIVA DI RIFERIMENTO

Le fasi di analisi e verifica della struttura sono state condotte in accordo alle seguenti disposizioni normative, per quanto applicabili in relazione al criterio di calcolo adottato dal progettista, evidenziato nel prosieguo della presente relazione:

**Legge 5 novembre 1971 n. 1086** (G. U. 21 dicembre 1971 n. 321)

*"Norme per la disciplina delle opere di conglomerato cementizio armato, normale e precompresso ed a struttura metallica".*

**Legge 2 febbraio 1974 n. 64** (G. U. 21 marzo 1974 n. 76)

*"Provvedimenti per le costruzioni con particolari prescrizioni per le zone sismiche"*

Indicazioni progettuali per le nuove costruzioni in zone sismiche a cura del Ministero per la Ricerca scientifica - Roma 1981.

**D. M. Infrastrutture Trasporti 17/01/2018** (G.U. 20/02/2018 n. 42 - Suppl. Ord. n. 8)

*"Aggiornamento delle Norme tecniche per le Costruzioni".*

Inoltre, in mancanza di specifiche indicazioni, ad integrazione della norma precedente e per quanto con esse non in contrasto, sono state utilizzate le indicazioni contenute nella:

**Circolare 21 gennaio 2019, n. 7 C.S.LL.PP.** (G.U. Serie Generale n. 35 del 11/02/2019 - Suppl. Ord. n. 5)

Istruzioni per l'applicazione dell'«Aggiornamento delle "Norme tecniche per le costruzioni"» di cui al decreto ministeriale 17 gennaio 2018.

**Eurocodice 7 - "Progettazione geotecnica"** - EN 1997-1 per quanto non in contrasto con le disposizioni del D.M. 2018 "Norme Tecniche per le Costruzioni".

#### 4. INDAGINI E CARATTERIZZAZIONE GEOTECNICA

Sulla base di quanto dettagliato nella relazione geologica dell'area di sito, si è proceduto alla progettazione della campagna di indagini geognostiche finalizzate alla determinazione delle caratteristiche geotecniche dei terreni interessati dal "volume significativo" dell'opera in esame.

##### 4.1. Prove effettuate e Caratterizzazione geotecnica

Al fine della determinazione delle caratteristiche geotecniche dei terreni coinvolti nel "volume significativo" dell'opera in esame, sono state condotte delle prove geotecniche, riassunte nella relazione geologica.

Le indagini realizzate hanno permesso di ricostruire le seguenti stratigrafie per ognuna delle quali sono state definite le proprietà geotecniche dei singoli terreni coinvolti.

### TERRENI

| N <sub>TRN</sub>  | γ <sub>T</sub><br>[N/m <sup>3</sup> ] | K <sub>1X</sub><br>[N/cm <sup>2</sup> ] | K <sub>1</sub>                          |   |                  | φ<br>[°] | c <sub>u</sub><br>[N/mm <sup>2</sup> ] | c'<br>[N/mm <sup>2</sup> ] | E <sub>d</sub><br>[N/mm <sup>2</sup> ] | E <sub>cu</sub><br>[N/mm <sup>2</sup> ] | Terreni |
|---|---------------------------------------|---|---|---|------------------|----------|--|----------------------------|--|---|---------|
|   |                                       |   | K <sub>1Y</sub><br>[N/cm <sup>2</sup> ] | K <sub>1Z</sub><br>[N/cm <sup>2</sup> ] | A <sub>S-B</sub> |          |  |                            |  |   |         |
| <b>Argilla limosa limo argilloso</b>  |                                       |   |   |   |                  |          |  |                            |  |   |         |
| T001  | 19.500                                | 40                                      | 40                                      | 40                                      | 26               | 0,076    | 0,000                                  | 20                         | 1                                      | 0,000                                   |         |
| <b>Sabbia ghiaiosa</b>  |                                       |   |   |   |                  |          |  |                            |  |   |         |
| T002  | 21.000                                | 80                                      | 80                                      | 300                                     | 34               | 0,020    | 0,000                                  | 300                        | 1                                      | 0,000                                   |         |
| <b>Sabbia argillosa mediamente consolidata</b>  |                                       |   |   |   |                  |          |  |                            |  |   |         |
| T003  | 18.000                                | 60                                      | 60                                      | 200                                     | 32               | 0,000    | 0,000                                  | 60                         | 0                                      | 0,000                                   |         |
| <b>Rocce tenere e depositi di terreni a grana grossa molto addensati o terreni a grana fina molto consistenti con spessori superiori a 30 m</b> |                                       |   |   |   |                  |          |  |                            |  |   |         |
| T004  | 22.800                                | 60                                      | 60                                      | 1000                                    | 32               | 0,000    | 0,000                                  | 19                         | 0                                      | 0,000                                   |         |

#### LEGENDA:

|                        |  |
|------------------------|--|
| <b>N<sub>TRN</sub></b> | Numero identificativo del terreno.   |
| <b>γ<sub>T</sub></b>   | Peso specifico del terreno.  |
| <b>K<sub>1</sub></b>   | Valori della costante di Winkler riferita alla piastra Standard di lato b = 30 cm nelle direzioni degli assi del riferimento globale X (K <sub>1X</sub> ), Y (K <sub>1Y</sub> ), e Z (K <sub>1Z</sub> ). |
| <b>φ</b>               | Angolo di attrito del terreno.   |
| <b>c<sub>u</sub></b>   | Coesione non drenata.  |
| <b>c'</b>              | Coesione efficace.   |
| <b>E<sub>d</sub></b>   | Modulo edometrico.   |
| <b>E<sub>cu</sub></b>  | Modulo elastico in condizione non drenate.   |
| <b>A<sub>S-B</sub></b> | Parametro "A" di Skempton-Bjerrum per pressioni interstiziali.   |

## STRATIGRAFIE

| N <sub>TRN</sub>                       | Q <sub>i</sub> |        | Q <sub>f</sub> |        | Cmp. S.    | Add     | Stratigrafie<br>ΔEd |
|--|----------------|--------|----------------|--------|------------|---------|---------------------|
|  | [m]            |        | [m]            |        |            |         |                     |
| <b>[S001]-strato pozzo vicino VL07</b> |                |        |                |        |            |         |                     |
| T001                                   |                | 0,00   |                | -12,00 | incoerente | sciolto | nulla               |
| T002                                   |                | -12,00 |                | -15,00 | incoerente | sciolto | nulla               |
| T003                                   |                | -15,00 |                | -17,60 | coerente   | denso   | nulla               |
| T002                                   |                | -17,60 |                | -20,00 | incoerente | sciolto | nulla               |
| T004                                   |                | -20,00 | INF            |        | incoerente | sciolto | nulla               |

### LEGENDA:

- N<sub>TRN</sub>** Numero identificativo della stratigrafia.  
**Q<sub>i</sub>** Quota iniziale dello strato (riferito alla quota iniziale della stratigrafia).  
**Q<sub>f</sub>** Quota finale dello strato (riferito alla quota iniziale della stratigrafia). INF = infinito (profondità dello strato finale).  
**Cmp. S.** Comportamento dello strato.  
**S.**  
**Add** Addensamento dello strato.  
**ΔEd** Variazione con la profondità del modulo edometrico.

**NB:** Nel caso di fondazioni dirette con stratigrafia, il calcolo del carico limite ( $q_{lim}$ ) viene fatto su un terreno "equivalente" con parametri geotecnici calcolati come media pesata degli strati compresi tra la quota del piano di posa e la quota della profondità "significativa" (stabilita come "Multiplo della dimensione Significativa della fondazione").

$$\text{Parametro "J"} = \frac{\sum_i^n [\text{Parametro "J"} (\text{strato}, i) \cdot \text{Spessore} (\text{strato}, i)]}{\text{Profondità significativa}}$$

con  $i = 1, \dots, n$  (numero di strati compresi tra la quota del piano di posa e la quota della profondità significativa).

### 4.2. Idrogeologia

Non è stata riscontrata la presenza di falde acquifere a profondità di interesse relativamente al "volume significativo" investigato.

### 4.3. Problematiche riscontrate

## 5. MODELLAZIONE GEOTECNICA E PERICOLOSITA' SISMICA DEL SITO

Le indagini effettuate, permettono di classificare il profilo stratigrafico, ai fini della determinazione dell'azione sismica, di categoria:

**C [C - Depositi di terreni a grana grossa mediamente addensati o terreni a grana fina mediamente consistenti]**, basandosi sulla valutazione della velocità delle onde di taglio ( $V_{S30}$ ) e/o del numero di colpi dello Standard Penetration Test ( $N_{SPT}$ ) e/o della resistenza non drenata equivalente ( $c_{u,30}$ ).

Tutti i parametri che caratterizzano i terreni di fondazione sono riportati nei successivi paragrafi.

### 5.1. Modellazione geotecnica

Ai fini del calcolo strutturale, il terreno sottostante l'opera viene modellato secondo lo schema di Winkler, cioè un sistema costituito da un letto di molle elastiche mutuamente indipendenti. Ciò consente di ricavare le rigidità offerte dai manufatti di fondazione, siano queste profonde o superficiali, che sono state introdotte direttamente nel modello strutturale per tener conto dell'interazione opera/terreno.

### 5.2. Pericolosità sismica

Ai fini della pericolosità sismica sono stati analizzati i dati relativi alla sismicità dell'area di interesse e ad eventuali effetti di amplificazione stratigrafica e topografica. Si sono tenute in considerazione anche la classe dell'edificio e la vita nominale.

Per tale caratterizzazione si riportano di seguito i dati di pericolosità come da normativa:

### DATI GENERALI ANALISI SISMICA

| Dati generali analisi sismica |    |    |    |        |              |     |                   |        |    |    |     |
|-------------------------------|----|----|----|--------|--------------|-----|-------------------|--------|----|----|-----|
| Ang                           | NV | CD | MP | Dir    | TS           | EcA | Ir <sub>tmp</sub> | C.S.T. | RP | RH | ξ   |
| [°]                           |    |    |    |        |              |     |                   |        |    |    | [%] |
| 0                             | -  | B  | ca | X<br>Y | [PI]<br>[PI] | N   | N                 | C      | NO | SI | 5   |

#### LEGENDA:

- Ang** Direzione di una componente dell'azione sismica rispetto all'asse X (sistema di riferimento globale); la seconda componente dell'azione sismica e' assunta con direzione ruotata di 90 gradi rispetto alla prima.
- NV** Nel caso di analisi dinamica, indica il numero di modi di vibrazione considerati.
- CD** Classe di duttilità: [A] = Alta - [B] = Media - [ND] = Non Dissipativa - [-] = Nessuna.
- MP** Tipo di struttura sismo-resistente prevalente: [ca] = calcestruzzo armato - [caOld] = calcestruzzo armato esistente - [muOld] = muratura esistente - [muNew] = muratura nuova - [muArm] = muratura armata - [ac] = acciaio.
- Dir** Direzione del sisma.
- TS** Tipologia della struttura:  
 Cemento armato: [T 1C] = Telai ad una sola campata - [T+C] = Telai a più campate - [P] = Pareti accoppiate o miste equivalenti a pareti - [2P NC] = Due pareti per direzione non accoppiate - [P NC] = Pareti non accoppiate - [DT] = Deformabili torsionalmente - [PI] = Pendolo inverso - [PM] = Pendolo inverso intelaiate monopiano;  
 Muratura: [P] = un solo piano - [PP] = più di un piano - [C-P/MP] = muratura in pietra e/o mattoni pieni - [C-BAS] = muratura in blocchi artificiali con percentuale di foratura > 15%;  
 Acciaio: [T 1C] = Telai ad una sola campata - [T+C] = Telai a più campate - [CT] = controventi concentrici diagonale tesa - [CV] = controventi concentrici a V - [M] = mensola o pendolo inverso - [TT] = telaio con tamponature.
- EcA** Eccentricità accidentale: [S] = considerata come condizione di carico statica aggiuntiva - [N] = Considerata come incremento delle sollecitazioni.
- Ir<sub>tmp</sub>** Per piani con distribuzione dei tamponamenti in pianta fortemente irregolare, l'eccentricità accidentale è stata incrementata di un fattore pari a 2: [SI] = Distribuzione tamponamenti irregolare fortemente - [NO] = Distribuzione tamponamenti regolare.
- C.S.T.** Categoria di sottosuolo: [A] = Ammassi rocciosi affioranti o terreni molto rigidi - [B] = Rocce tenere e depositi di terreni a grana grossa molto addensati o terreni a grana fina molto consistenti - [C] = Depositi di terreni a grana grossa mediamente addensati o terreni a grana fina mediamente consistenti - [D] = Depositi di terreni a grana grossa scarsamente addensati o di terreni a grana fina scarsamente consistenti - [E] = Terreni con caratteristiche e valori di velocità equivalente riconducibili a quelle definite per le categorie C o D.
- RP** Regolarità in pianta: [SI] = Struttura regolare - [NO] = Struttura non regolare.
- RH** Regolarità in altezza: [SI] = Struttura regolare - [NO] = Struttura non regolare.
- ξ** Coefficiente viscoso equivalente.
- NOTE** [-] = Parametro non significativo per il tipo di calcolo effettuato.

## FATTORI DI COMPORTAMENTO

| Dir | q' | q     | q <sub>0</sub> | K <sub>R</sub> | Fattori di comportamento       |                |
|-----|----|-------|----------------|----------------|--------------------------------|----------------|
|     |    |       |                |                | α <sub>u</sub> /α <sub>1</sub> | k <sub>w</sub> |
| X   | -  | 1,500 | 1,50           | 1,00           | 1,00                           | -              |
| Y   | -  | 1,500 | 1,50           | 1,00           | 1,00                           | -              |
| Z   | -  | 1,500 | -              | -              | -                              | -              |

### LEGENDA:

- q'** Fattore di riduzione dello spettro di risposta sismico allo SLU ridotto (Fattore di comportamento ridotto - relazione C7.3.1 circolare NTC)
- q** Fattore di riduzione dello spettro di risposta sismico allo SLU (Fattore di comportamento).
- q<sub>0</sub>** Valore di base (comprensivo di k<sub>w</sub>).
- K<sub>R</sub>** Fattore riduttivo funzione della regolarità in altezza : pari ad 1 per costruzioni regolari in altezza, 0,8 per costruzioni non regolari in altezza, e 0,75 per costruzioni in muratura esistenti non regolari in altezza (§ C8.5.5.1)..
- α<sub>u</sub>/α<sub>1</sub>** Rapporto di sovraresistenza.
- k<sub>w</sub>** Fattore di riduzione di q<sub>0</sub>.

## PARAMETRI PER LA DEFINIZIONE DELL'AZIONE SISMICA

| Stato Limite | T <sub>r</sub> | a <sub>g</sub> /g | Amplif. Stratigrafica |                | F <sub>0</sub> | T <sup>*</sup> <sub>c</sub> | T <sub>B</sub> | T <sub>C</sub> | T <sub>D</sub> |
|--------------|----------------|-------------------|-----------------------|----------------|----------------|-----------------------------|----------------|----------------|----------------|
|              |                |                   | S <sub>s</sub>        | C <sub>c</sub> |                |                             |                |                |                |
|              |                |                   | [t]                   | [s]            |                |                             |                |                |                |
| SLO          | 30             | 0,0186            | 1,500                 | 1,612          | 2,610          | 0,273                       | 0,147          | 0,440          | 1,674          |
| SLD          | 35             | 0,0200            | 1,500                 | 1,599          | 2,628          | 0,280                       | 0,149          | 0,447          | 1,680          |
| SLV          | 332            | 0,0452            | 1,500                 | 1,510          | 2,855          | 0,332                       | 0,167          | 0,502          | 1,781          |
| SLC          | 682            | 0,0549            | 1,500                 | 1,477          | 2,930          | 0,356                       | 0,175          | 0,525          | 1,820          |

### LEGENDA:

- T<sub>r</sub>** Periodo di ritorno dell'azione sismica. [t] = anni.
- a<sub>g</sub>/g** Coefficiente di accelerazione al suolo.
- S<sub>s</sub>** Coefficienti di Amplificazione Stratigrafica allo SLO/SLD/SLV/SLC.
- C<sub>c</sub>** Coefficienti di Amplificazione di T<sub>c</sub> allo SLO/SLD/SLV/SLC.
- F<sub>0</sub>** Valore massimo del fattore di amplificazione dello spettro in accelerazione orizzontale.
- T<sup>\*</sup><sub>c</sub>** Periodo di inizio del tratto a velocità costante dello spettro in accelerazione orizzontale.
- T<sub>B</sub>** Periodo di inizio del tratto accelerazione costante dello spettro di progetto.
- T<sub>C</sub>** Periodo di inizio del tratto a velocità costante dello spettro di progetto.
- T<sub>D</sub>** Periodo di inizio del tratto a spostamento costante dello spettro di progetto.

## DATI DEL SITO E DELL'OPERA

| CI Ed | V <sub>N</sub> | V <sub>R</sub> | Lat.      | Long.    | Q <sub>g</sub> | Dati del sito e dell'opera |                |
|-------|----------------|----------------|-----------|----------|----------------|----------------------------|----------------|
|       |                |                |           |          |                | C <sub>Top</sub>           | S <sub>T</sub> |
| [t]   | [t]            | [t]            | [°ssdc]   | [°ssdc]  | [m]            |                            |                |
| 1     | 50             | 35             | 39.372083 | 8.856581 | 40             | T1                         | 1,00           |

### LEGENDA:

- CI Ed** Classe dell'edificio
- V<sub>N</sub>** Vita nominale ([t] = anni).
- V<sub>R</sub>** Periodo di riferimento. [t] = anni.
- Lat.** Latitudine geografica del sito.
- Long.** Longitudine geografica del sito.
- Q<sub>g</sub>** Altitudine geografica del sito.
- C<sub>Top</sub>** Categoria topografica (Vedi NOTE).
- S<sub>T</sub>** Coefficiente di amplificazione topografica.
- NOTE** [-] = Parametro non significativo per il tipo di calcolo effettuato.

- Categoria topografica.
- T1: Superficie pianeggiante, pendii e rilievi isolati con inclinazione media  $i \leq 15^\circ$ .
- T2: Pendii con inclinazione media  $i > 15^\circ$ .
- T3: Rilievi con larghezza in cresta molto minore che alla base e inclinazione media  $15^\circ \leq i \leq 30^\circ$ .
- T4: Rilievi con larghezza in cresta molto minore che alla base e inclinazione media  $i > 30^\circ$ .

## 6. SCELTA TIPOLOGICA DELLE OPERE DI FONDAZIONE

La tipologia delle opere di fondazione è consona alle caratteristiche meccaniche del terreno definite in base ai risultati delle indagini geognostiche.

Nel caso in esame, la struttura di fondazione è costituita da:

- fondazioni indirette di tipo a pali.

## 7. VERIFICHE DI SICUREZZA

Nelle verifiche allo stato limite ultimo deve essere rispettata la condizione:

$$E_d \leq R_d$$

dove:

$E_d$  è il valore di progetto dell'azione o dell'effetto dell'azione;

$R_d$  è il valore di progetto della resistenza del sistema geotecnico.

Le verifiche strutturali e geotecniche delle fondazioni, sono state effettuate con l'**Approccio 2** come definito al §2.6.1 del D.M. 2018, attraverso la combinazione **A1+M1+R3**. Le azioni sono state amplificate tramite i coefficienti della colonna A1 (STR) definiti nella tabella 6.2.I del D.M. 2018.

**Tabella 6.2.I - Coefficienti parziali per le azioni o per l'effetto delle azioni** [cfr. D.M. 2018]

| CARICHI                        | EFFETTO     | Coefficiente parziale $\gamma_F$ (o $\gamma_E$ ) | A1 (STR) | A2 (GEO) |
|--------------------------------|-------------|--|----------|----------|
| Carichi permanenti $G_1$       | Favorevole  | $\gamma_{G1}$                                    | 1,00     | 1,00     |
|                                | Sfavorevole |  | 1,30     | 1,00     |
| Carichi permanenti $G_2^{(1)}$ | Favorevole  | $\gamma_{G2}$                                    | 0,80     | 0,80     |
|                                | Sfavorevole |  | 1,50     | 1,30     |
| Azioni variabili Q             | Favorevole  | $\gamma_{Qi}$                                    | 0,00     | 0,00     |
|                                | Sfavorevole |  | 1,50     | 1,30     |

<sup>(1)</sup> Per i carichi permanenti  $G_2$  si applica quanto indicato alla Tabella 2.6.I. Per la spinta delle terre si fa riferimento ai coefficienti  $\gamma_{G1}$

I valori di resistenza del terreno sono stati ridotti tramite i coefficienti della colonna M1 definiti nella tabella 6.2.II del D.M. 2018.

**Tabella 6.2.II - Coefficienti parziali per i parametri geotecnici del terreno** [cfr. D.M. 2018]

| PARAMETRO GEOTECNICO                        | Grandezza alla quale applicare il coefficiente parziale | Coefficiente parziale $\gamma_M$ | M1   | M2   |
|---|---|----------------------------------|------|------|
| Tangente dell'angolo di resistenza a taglio | $\tan \phi_k$   | $\gamma_{\phi'}$                 | 1,00 | 1,25 |
| Coesione efficace                           | $c'_k$  | $\gamma_{c'}$                    | 1,00 | 1,25 |
| Resistenza non drenata                      | $c_{uk}$  | $\gamma_{cu}$                    | 1,00 | 1,40 |
| Peso dell'unità di volume                   | $\gamma_s$  | $\gamma_s$                       | 1,00 | 1,00 |

Per le fondazioni su pali, i valori calcolati delle resistenze totali dell'elemento strutturale sono stati divisi per i coefficienti R3 della tabella 6.4.II del D.M. 2018.

Per le varie tipologie di fondazioni sono di seguito elencate le metodologie ed i modelli usati per il calcolo del carico limite ed i risultati di tale calcolo.

### 7.1. Carico limite per i pali

#### Calcolo del carico limite verticale

Per il calcolo del carico limite verticale viene adottato il metodo dell'equilibrio limite in base al quale il carico limite verticale  $q_{lim}$  è dato dalla somma della resistenza laterale  $P_l$  e della resistenza alla punta  $P_p$ :



$$q_{lim} = P_p + P_l$$

Stimando il carico limite sia in condizione drenate che non drenate è fondamentale nella stratigrafia il comportamento del singolo strato (coerente/incoerente), particolare se uno strato è stato dichiarato incoerente il suo contributo al carico limite viene sempre valutato in condizioni drenate a prescindere dal metodo di calcolo richiesto (drenato/non drenato).

La **resistenza alla punta ( $P_p$ )** si calcola con la seguente formula:

$$P_p = \frac{\pi \cdot D^2}{4} \cdot (c \cdot N_c + q \cdot N_q)$$

dove:

- per la determinazione dei valori di  $N_q$  vengono usati i grafici di Berezantzev  $N_q = N_q(L/D; \phi)$  in cui  $L$  è la lunghezza del palo,  $D$  è il diametro e  $\phi$  è l'angolo di attrito;
- $N_c = (N_q - 1) \cdot \cot \phi$ ;
- $c$  è la coesione;

$q$  è la pressione litostatica alla punta del palo.

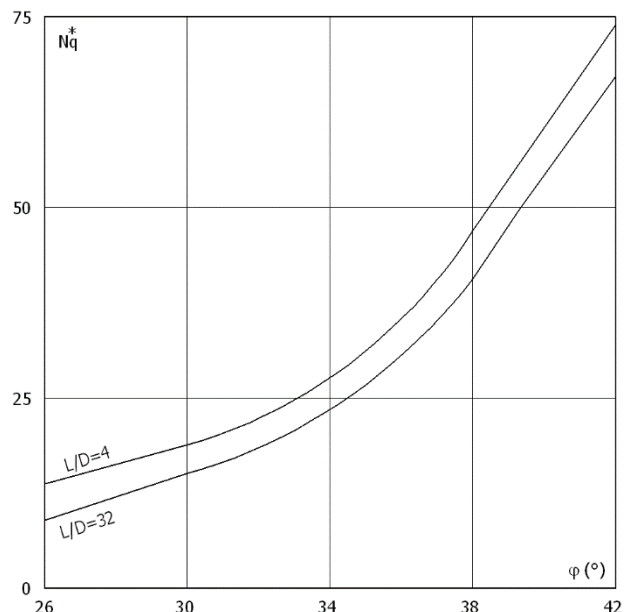
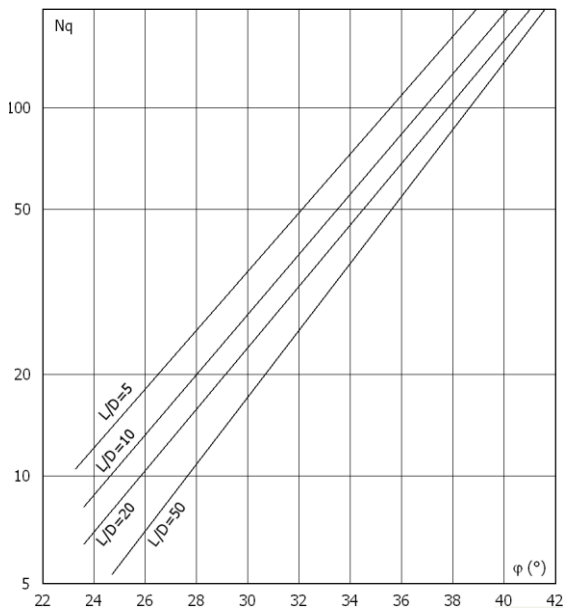
Nel calcolo della resistenza alla punta si fa distinzione tra condizioni drenate e non drenate.

In caso di condizioni:

- **drenate** si assume  $c = c'$  (coesione efficace) e  $q$  calcolata per pressioni effettive.
- **non drenate** si assume  $q = q_{tot}$  (pressione totale),  $c = c_u$  (coesione non drenata),  $\phi = 0$  e  $N_c = 9$ .

Se lo strato in cui arriva il palo è stato dichiarato coerente la stima della resistenza alla punta viene fatta in condizioni drenate o non drenate a seconda del metodo di calcolo richiesto. Viceversa, se lo strato in cui arriva il palo è stato dichiarato incoerente la stima della resistenza alla punta viene fatta sempre in condizioni drenate indipendentemente dal tipo di calcolo richiesto (drenato o non drenato).

Vengono distinti i casi di pali di medio diametro e di grande diametro (> 80 cm). Per questi ultimi, visto che la resistenza alla punta viene mobilitata dopo un cedimento che può essere anche significativo, si utilizza un valore di  $N_q^*$  ridotto rispetto a  $N_q$ .



Per il calcolo della **resistenza laterale ( $P_l$ )** si usa invece la formula:

$$P_l = \pi \cdot D \cdot L \cdot s,$$

in cui **s** è la somma di un termine di adesione **a** indipendente dalla tensione normale (orizzontale  $\sigma_h$ ) e da un termine attritivo dipendente da quest'ultima e dalla tecnologia con cui viene realizzato il palo (battuto, trivellato, ...):

$$s = a + \sigma_h \cdot \mu,$$

con  $\mu$  dipendente dalla scabrezza dell'interfaccia palo/terreno.

Anche per il calcolo della resistenza laterale si distingue tra condizioni drenate e non drenate. In **condizioni drenate** si assume  $a = 0$ , pertanto,  $s = \sigma_h \cdot \mu$  [con  $\mu = \tan(\phi \cdot A)$ , dove  $A$  è il coefficiente riduttivo relativo all'attrito palo-terreno]. In **condizioni non drenate** si assume che l'adesione sia un'aliquota della coesione non drenata, per cui  $a = \alpha \cdot c_u$  con  $\alpha$  dipendente dalla tecnologia esecutiva del palo stesso.

In caso di terreni stratificati la resistenza laterale è la somma delle resistenze offerte dai singoli strati, calcolate a seconda della tipologia del terreno (coerente/incoerente).

Pertanto, il calcolo del palo in condizioni non drenate, per gli strati coerenti il contributo alla portanza laterale del singolo strato viene stimato in funzione della coesione non drenata, mentre per gli strati incoerenti in funzione dell'attrito.

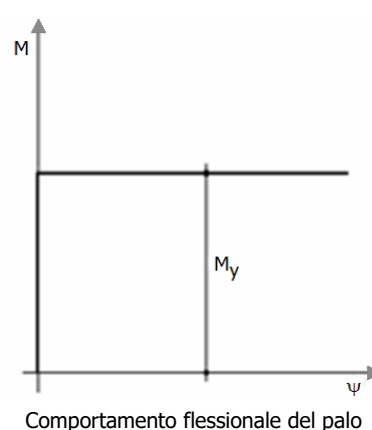
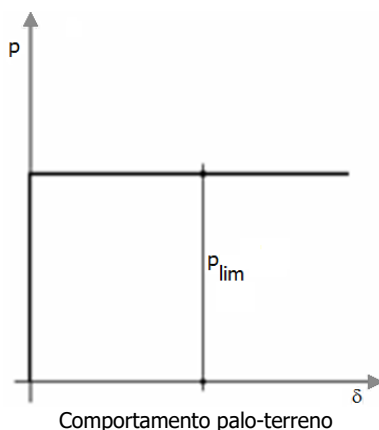
Invece, richiesto un calcolo del palo in condizioni drenate, sia per gli strati coerenti che per quelli incoerenti il contributo alla portanza laterale del singolo strato viene stimato in funzione dell'attrito.

#### Calcolo del Carico Limite Orizzontale per terreni monostrato

Per la valutazione del carico limite orizzontale si è fatto riferimento alla teoria di Broms e al caso di pali supposti vincolati in testa (rotazione impedita).

Le ipotesi assunte da *Broms* sono le seguenti:

- comportamento dell'interfaccia palo-terreno di tipo rigido-perfettamente plastico, cioè la resistenza del terreno si mobilita interamente per un qualsiasi valore non nullo dello spostamento e resta poi costante al crescere dello spostamento;
- forma del palo ininfluente rispetto al carico limite orizzontale il quale risulta influenzato solo dal diametro del palo stesso;
- in presenza di forze orizzontali la resistenza della sezione strutturale del palo può essere chiamata in causa poiché il regime di sollecitazione di flessione e taglio che consegue all'applicazione di forze orizzontali è molto più gravoso dello sforzo normale che consegue all'applicazione di carichi verticali;
- anche il comportamento flessionale del palo è assunto di tipo rigido-perfettamente plastico, cioè le rotazioni plastiche del palo sono trascurabili finché il momento flettente non attinge al valore  $M_{plast}$  ovvero Momento di plasticizzazione. A questo punto nella sezione si forma una cerniera plastica ovvero la rotazione continua indefinitamente sotto momento costante.



La resistenza limite laterale di un palo è determinata dal minimo valore fra:

- il carico orizzontale necessario per produrre il collasso del terreno lungo il fusto del palo;
- il carico orizzontale necessario per produrre la plasticizzazione del palo.

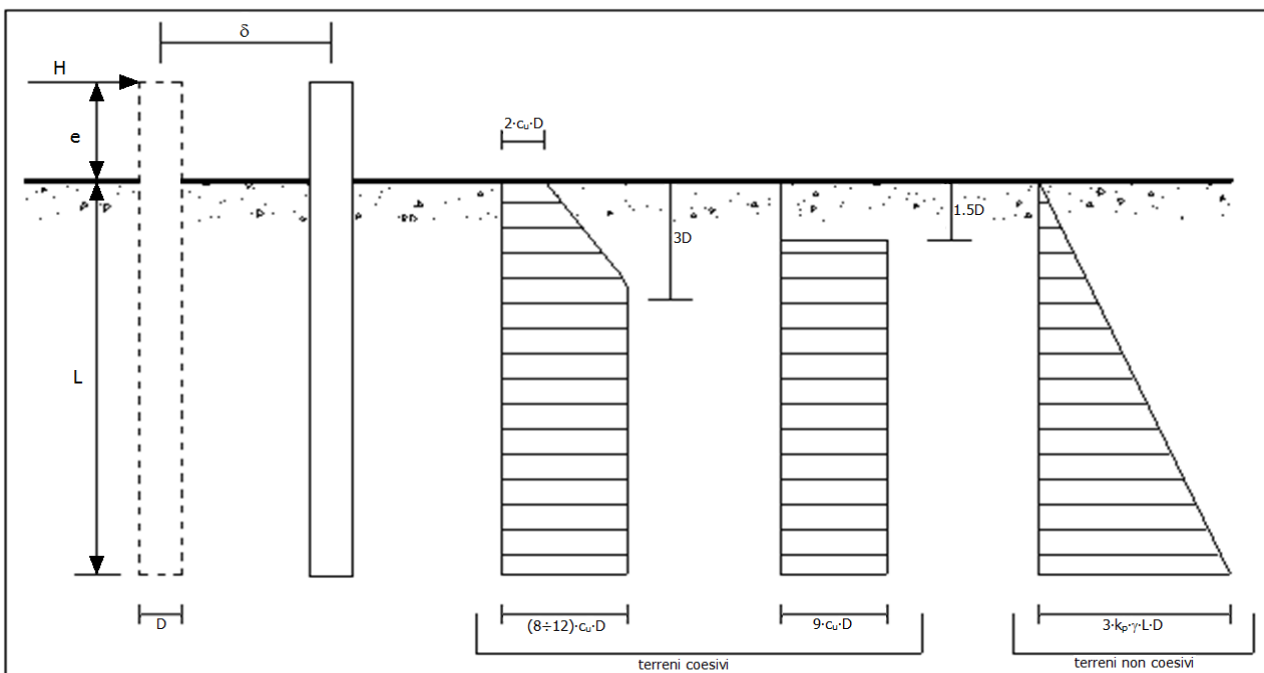
Il primo meccanismo (plasticizzazione del terreno) si verifica nel caso di pali molto rigidi in terreni poco resistenti (meccanismo di palo corto).

Mentre, il secondo meccanismo si verifica nel caso di pali aventi rigidezze non eccessive rispetto al terreno d'infissione (meccanismo di palo lungo o intermedio, con la formazione rispettivamente di due ed una cerniera plastica).

La resistenza limite del terreno rappresenta il valore limite di resistenza che esso può esplicare quando il palo è soggetto ad un carico orizzontale e dipende dalle caratteristiche del terreno e dalla geometria del palo.

Per quanto riguarda la resistenza del terreno, secondo la teoria di Broms, si considerano separatamente i casi di:

- terreni **coesivi** o **coerenti** (rottura non drenata);
- terreni **non coesivi** o **incoerenti** (rottura drenata).



Andamento della resistenza del terreno, secondo la teoria di Broms

Quindi, nella fase di calcolo, occorre verificare se il meccanismo di rottura del palo è per:

- **Palo corto** ⇒ (plasticizzazione terreno)
- **Palo intermedio** ⇒ (plasticizzazione palo)
- **Palo lungo**

Nel caso di **terreni non coesivi** ( $c=0$ ), la teoria di **Broms** assume che la resistenza laterale sia variabile linearmente con la profondità dal valore  $p = 0$  (in testa) fino al valore  $p = 3 \cdot k_p \cdot \gamma \cdot L \cdot D$  (alla base), essendo  $K_p$  il coefficiente di resistenza passiva. Nel calcolo della resistenza laterale si tiene conto dell'eventuale interrimento della testa del palo rispetto al piano campagna, il che comporta che la pressione litostatica in testa al palo sia non nulla. Inoltre, un ulteriore settaggio, presente nelle preferenze del software, consente di trascurare o meno la presenza della falda nella valutazione della pressione litostatica.

Per quanto riguarda i *terreni coesivi* la resistenza laterale parte in testa al palo con un valore di  $p = 2 \cdot c_u \cdot D$ , cresce linearmente fino alla profondità  $3D$  per poi rimanere costante e pari a  $p = (8 \div 12) \cdot c_u \cdot D$  per tutta la lunghezza del palo. In alternativa, è possibile utilizzare un diagramma semplificato, di valore  $p = 0$  fino alla profondità  $1,5 \cdot D$  e con valore costante e pari a  $9 \cdot c_u \cdot D$  per tutta la lunghezza del palo.

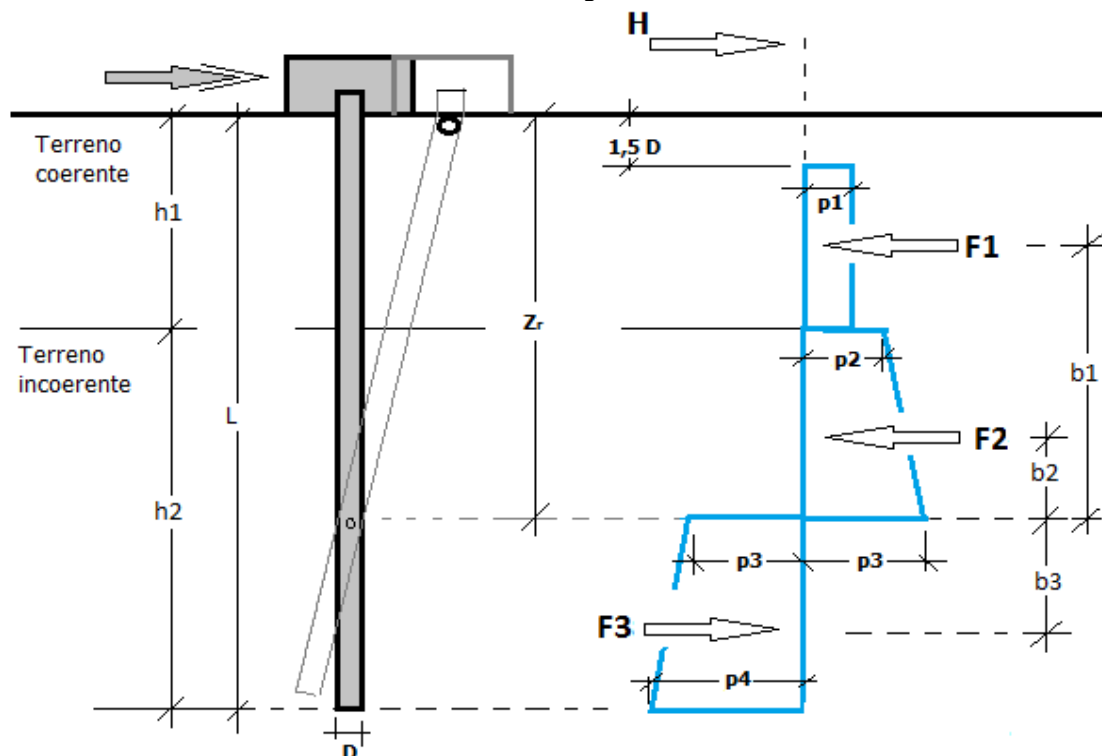
Oltre ai parametri meccanici del terreno viene considerato anche il Momento Ultimo  $M_p$  del palo che è funzione oltre che dell'armatura anche dello sforzo assiale agente. Se il comportamento è a palo lungo viene calcolata anche la profondità di formazione della seconda cerniera plastica.

### Calcolo del Carico Limite Orizzontale per terreni stratificati

La teoria di Broms è formulata per terreni omogenei, di tipo coerente o incoerente; in caso di terreni stratificati, la teoria di Broms viene generalizzata formulando le seguenti ipotesi aggiuntive, rispetto al caso del terreno monostrato:

- **terreno coerente:** la resistenza laterale per unità di superficie  $p_i$  viene considerata costante, secondo l'ipotesi di Broms, a partire da una profondità pari ad  $1,5 \cdot D$ , ritenendo nulla la reazione per strati di altezza inferiore a  $1,5 \cdot D$ . La resistenza  $p_i$  è indipendente dalla pressione litostatica.
- **terreno incoerente:** la resistenza laterale per unità di superficie  $p_i$  varia con legge lineare lungo l'altezza, secondo l'ipotesi di Broms. La resistenza  $p_i$  è dipendente dalla pressione litostatica  $\gamma \cdot z$ , per cui nel calcolo di tali resistenze si tiene conto del peso degli eventuali strati sovrastanti. Un ulteriore settaggio, presente nelle preferenze del software, consente di trascurare o meno la presenza della falda nella valutazione della pressione litostatica.

Per un terreno di due strati lo schema considerato è il seguente:



Nella fase di calcolo, si verifica se il meccanismo di rottura del palo, ipotizzato vincolato in testa (rotazione alla testa impedita) sia di:

- **Palo CORTO**

Si valuta il diagramma dei momenti, ipotizzando che il palo non subisca plasticizzazioni. Sotto l'azione della forza H il palo subisce una traslazione rigida.

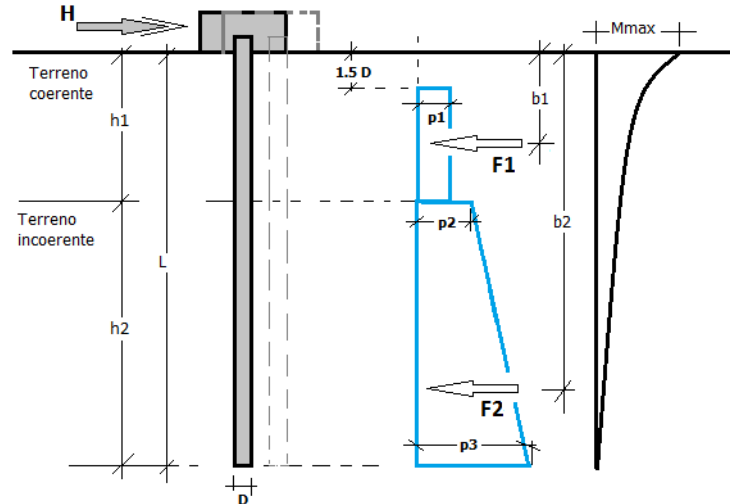
Nell'ipotesi di cui in figura seguente, le resistenze laterali valgono:

$$\begin{aligned} p_1 &= 9 \cdot c_u \cdot D; \\ p_2 &= 3 \cdot k_{p,2} \cdot D \cdot \gamma_1 \cdot h_1; \\ p_3 &= 3 \cdot k_{p,2} \cdot D \cdot (\gamma_1 \cdot h_1 + \gamma_2 \cdot h_2). \end{aligned}$$

Da cui:

$$\begin{aligned} F_1 &= p_1 \cdot (h_1 - 1,5 \cdot D); \\ F_2 &= (p_1 + p_2) \cdot h_2 / 2. \end{aligned}$$

Indicando con  $M_p$  il momento resistente del palo, se risulta  $M_{max} = F_1 \cdot b_1 + F_2 \cdot b_2 < M_p$  l'ipotesi di palo corto è soddisfatta, altrimenti occorre procedere con l'ipotesi di palo intermedio.



### **Palo INTERMEDIO**

Si valuta il diagramma dei momenti, ipotizzando che il palo subisca una plasticizzazione all'attacco con la fondazione e che al piede sia presente un vincolo alla traslazione orizzontale. Sotto l'azione della forza H il palo subisce una traslazione ed una rotazione rigida.

Nell'ipotesi di cui in figura seguente, le resistenze laterali valgono:

$$\begin{aligned} p_1 &= 9 \cdot c_u \cdot D; \\ p_2 &= 3 \cdot k_{p,2} \cdot D \cdot \gamma_1 \cdot h_1; \\ p_3 &= 3 \cdot k_{p,2} \cdot D \cdot (\gamma_1 \cdot h_1 + \gamma_2 \cdot h_2). \end{aligned}$$

Da cui:

$$\begin{aligned} F_1 &= p_1 \cdot (h_1 - 1,5 \cdot D); \\ F_2 &= (p_1 + p_2) \cdot h_2 / 2. \end{aligned}$$

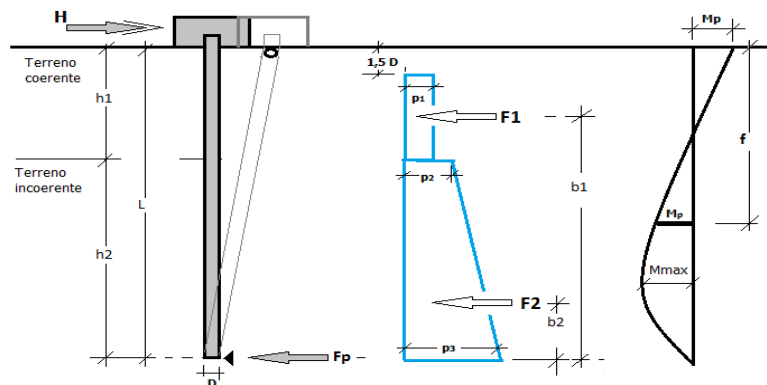
Applicando l'equilibrio alla rotazione intorno al piede del palo:

$$M_p + F_1 \cdot b_1 + F_2 \cdot b_2 - H \cdot L = 0$$

si determina il valore dell'azione H che sollecita il palo.

Una volta note tutte le forze in gioco, si determina il diagramma del momento lungo il fusto del palo.

Indicando con  $M_p$  il momento resistente del palo, se risulta  $M_{max} < M_p$  l'ipotesi di palo intermedio è soddisfatta, altrimenti occorre procedere con l'ipotesi di palo lungo.



### **Palo LUNGO**

Si valuta il diagramma dei momenti, ipotizzando che il palo subisca una plasticizzazione all'attacco con la fondazione e lungo il fusto. Sotto l'azione della forza H il palo subisce una traslazione ed una rotazione rigida.

Nell'ipotesi di cui in figura seguente, le resistenze laterali valgono:

$$p_1 = 9 \cdot c_u \cdot D;$$

$$p_2 = 3 \cdot k_{p,2} \cdot D \cdot \gamma_1 \cdot h_1;$$

$$p_3 = 3 \cdot k_{p,2} \cdot D \cdot (\gamma_1 \cdot h_1 + \gamma_2 \cdot h_2).$$

Da cui:

$$F_1 = p_1 \cdot (h_1 - 1,5 \cdot D);$$

$$F_2 = (p_1 + p_2) \cdot h_2 / 2.$$

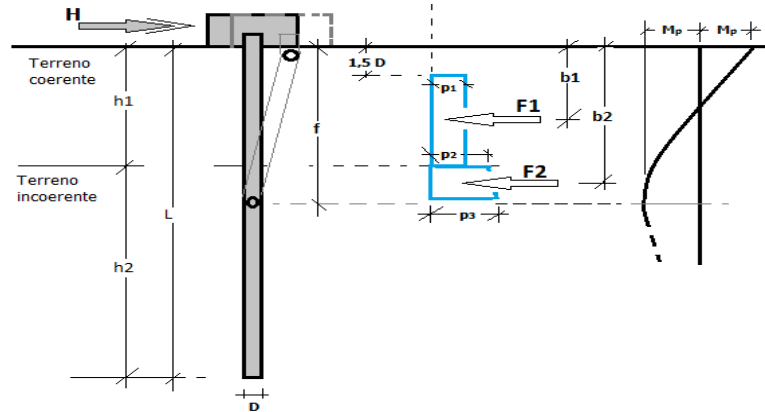
Applicando l'equilibrio alla traslazione si ha:

$$H = F_1 + F_2$$

Imponendo l'equilibrio alla rotazione intorno alla seconda cerniera plastica:

$$H \cdot f - F_1 \cdot (f - b_1) - F_2 \cdot (f - b_2) - 2M_p = 0$$

si determina la profondità  $f$  della seconda cerniera plastica.



### Verifiche nei confronti degli stati limite ultimi (SLU)

Di seguito si riporta una tabella riepilogativa relativa alle verifiche delle fondazioni su pali eseguite per i seguenti stati limite:

- collasso per carico limite della palificata nei riguardi dei carichi assiali;
- collasso per carico limite della palificata nei riguardi dei carichi trasversali.

Si precisa che i valori relativi alle colonne  $Q_{Rd}$ , di cui nella tabella relativa alle verifiche, sono da intendersi come il valore di progetto della resistenza  $R_d$  ossia il rapporto fra il carico limite  $q_{lim}$  (calcolato come sopra esposto) ed il valore del coefficiente parziale di sicurezza  $\gamma_R$ , relativo all'approccio utilizzato.

**Tabella 6.4.II - Coefficienti parziali  $\gamma_R$  da applicare alle resistenze caratteristiche a carico verticale dei pali (cfr. D.M. 2018)**

| Resistenza               | Simbolo        | infissi | trivellati | ad elica continua |
|--------------------------|----------------|---------|------------|-------------------|
|                          | $\gamma_R$     | R3      | R3         | R3                |
| Base                     | $\gamma_b$     | 1,15    | 1,35       | 1,30              |
| Laterale in compressione | $\gamma_s$     | 1,15    | 1,15       | 1,15              |
| Totale <sup>(*)</sup>    | $\gamma_t$     | 1,15    | 1,30       | 1,25              |
| Laterale in trazione     | $\gamma_{s,t}$ | 1,25    | 1,25       | 1,25              |

<sup>(\*)</sup> da applicare alle resistenze caratteristiche dedotte dai risultati di prove di carico di progetto.

Il coefficiente  $\gamma_R$  da applicare alla resistenza dei pali soggetti a *carichi trasversali* è assunto pari a 1,30 (cfr. tabella 6.4.VI D.M. 2018).

Con riferimento alle procedure analitiche che prevedono l'utilizzo dei parametri geotecnici, il valore caratteristico della resistenza  $R_k$  è dato dal valore ottenuto applicando alle resistenze calcolate  $R_{cal}$  i fattori di correlazione  $\xi$  riportati nella tabella 6.4.IV, in funzione del numero  $n$  di verticali di indagine:

$$R_k = R_{cal} / \xi_3.$$

**Tabella 6.4.IV - Fattori di correlazione per la determinazione della resistenza caratteristica in funzione del numero di verticali indagate (cfr. D.M. 2018).**

| Numero di verticali indagate | 1    | 2    | 3    | 4    | 5    | 7    | $\geq 10$ |
|------------------------------|------|------|------|------|------|------|-----------|
| $\xi_3$                      | 1,70 | 1,65 | 1,60 | 1,55 | 1,50 | 1,45 | 1,40      |

Si precisa che, nella sottostante tabella, la coppia  $Q_{Ed,V} - Q_{Rd,V}$  e  $Q_{Ed,O} - Q_{Rd,O}$  è relativa alla combinazione di carico, fra tutte quelle esaminate, che da luogo al minimo coefficiente di sicurezza (CS).

**N.B:** il valore del  $Q_{Ed,V}$  rappresenta l'azione agente sulla testa del palo a cui si sottrae la differenza fra il peso del palo ed quello del volume di terreno occupato dal palo.

## PALI - VERIFICHE A CARICO LIMITE VERTICALE E ORIZZONTALE ALLO SLU

### Pali - Verifiche a carico limite verticale e orizzontale allo SLU

| Id <sub>PI/Pnt</sub> PI | Id <sub>Nd,sup</sub> | Q <sub>Ed,V</sub><br>[N] | Q <sub>Ed,O</sub><br>[N] | Q <sub>Rd,V</sub><br>[N] | Q <sub>Rd,V,Pt</sub><br>[N] | Q <sub>Rd,V,Lt</sub><br>[N] | Q <sub>Rd,O</sub><br>[N] | M <sub>max,O</sub><br>[N-m] | T.R.       | Z <sub>c,pls</sub><br>[m] | CS <sub>v</sub> | CS <sub>o</sub> |
|-------------------------|----------------------|--------------------------|--------------------------|--------------------------|-----------------------------|-----------------------------|--------------------------|-----------------------------|------------|---------------------------|-----------------|-----------------|
| PALO8                   | 00018                | 8.890.7<br>66            | 217.90<br>8              | 9.085.1<br>90            | 4.411.15<br>1               | 4.674.03<br>9               | 420.281                  | 908693                      | Palo Lungo | 3,12                      | 1,02            | 1,93            |
| PALO10                  | 00017                | 8.542.6<br>56            | 169.93<br>3              | 8.550.7<br>67            | 4.151.67<br>1               | 4.399.09<br>6               | 374.740                  | 837913                      | Palo Lungo | 3,04                      | 1,00            | 2,21            |
| PALO12                  | 00016                | 7.491.0<br>54            | 120.20<br>2              | 8.550.7<br>67            | 4.151.67<br>1               | 4.399.09<br>6               | 374.740                  | 837913                      | Palo Lungo | 3,04                      | 1,14            | 3,12            |
| PALO14                  | 00015                | 5.952.8<br>64            | 70.473                   | 8.550.7<br>67            | 4.151.67<br>1               | 4.399.09<br>6               | 374.740                  | 837913                      | Palo Lungo | 3,04                      | 1,44            | 5,32            |
| PALO15                  | 00014                | 4.134.9<br>54            | 40.057                   | 8.550.7<br>67            | 4.151.67<br>1               | 4.399.09<br>6               | 374.740                  | 837913                      | Palo Lungo | 3,04                      | 2,07            | 9,36            |
| PALO16                  | 00013                | 3.644.9<br>95            | 71.240                   | 8.550.7<br>67            | 4.151.67<br>1               | 4.399.09<br>6               | 374.740                  | 837913                      | Palo Lungo | 3,04                      | 2,35            | 5,26            |
| PALO13                  | 00012                | 3.609.6<br>47            | 121.06<br>7              | 8.550.7<br>67            | 4.151.67<br>1               | 4.399.09<br>6               | 392.379                  | 897764                      | Palo Lungo | 3,11                      | 2,37            | 3,24            |
| PALO11                  | 00011                | 3.566.5<br>47            | 169.72<br>9              | 8.550.7<br>67            | 4.151.67<br>1               | 4.399.09<br>6               | 506.517                  | 1316720                     | Palo Lungo | 3,53                      | 2,40            | 2,98            |
| PALO9                   | 00010                | 3.537.7<br>29            | 214.08<br>7              | 8.550.7<br>67            | 4.151.67<br>1               | 4.399.09<br>6               | 550.924                  | 1493619                     | Palo Lungo | 3,68                      | 2,42            | 2,57            |
| PALO7                   | 00009                | 3.548.1<br>88            | 249.68<br>5              | 8.550.7<br>67            | 4.151.67<br>1               | 4.399.09<br>6               | 506.517                  | 1316720                     | Palo Lungo | 3,53                      | 2,41            | 2,03            |
| PALO5                   | 00008                | 3.576.2<br>68            | 276.16<br>7              | 8.550.7<br>67            | 4.151.67<br>1               | 4.399.09<br>6               | 392.379                  | 897764                      | Palo Lungo | 3,11                      | 2,39            | 1,42            |
| PALO3                   | 00007                | 3.600.9<br>55            | 293.07<br>3              | 8.550.7<br>67            | 4.151.67<br>1               | 4.399.09<br>6               | 374.740                  | 837913                      | Palo Lungo | 3,04                      | 2,37            | 1,28            |
| PALO2                   | 00006                | 4.074.6<br>48            | 298.23<br>9              | 8.550.7<br>67            | 4.151.67<br>1               | 4.399.09<br>6               | 374.740                  | 837913                      | Palo Lungo | 3,04                      | 2,10            | 1,26            |
| PALO1                   | 00005                | 5.878.3<br>84            | 293.03<br>7              | 8.550.7<br>67            | 4.151.67<br>1               | 4.399.09<br>6               | 374.740                  | 837913                      | Palo Lungo | 3,04                      | 1,45            | 1,28            |
| PALO4                   | 00004                | 7.443.7<br>22            | 275.94<br>7              | 8.550.7<br>67            | 4.151.67<br>1               | 4.399.09<br>6               | 374.740                  | 837913                      | Palo Lungo | 3,04                      | 1,15            | 1,36            |
| PALO6                   | 00003                | 8.504.9<br>98            | 249.68<br>6              | 8.550.7<br>67            | 4.151.67<br>1               | 4.399.09<br>6               | 374.740                  | 837913                      | Palo Lungo | 3,04                      | 1,01            | 1,50            |

### LEGENDA:

**Id<sub>PI/Pnt</sub>** Identificativo del palo o del plinto su pali.

**PI**

**Id<sub>Nd,sup</sub>** Identificativo del nodo all'estremo superiore del palo o della pilastrata cui il plinto è collegato.

**Q<sub>Ed,V</sub>** Carico verticale di progetto.

**Q<sub>Ed,O</sub>** Carico orizzontale di progetto.

**Q<sub>Rd,V</sub>** Resistenza di progetto verticale.

**Q<sub>Rd,V,Pt</sub>** Aliquota della resistenza di progetto verticale dovuto alla resistenza alla punta.

**Q<sub>Rd,V,Lt</sub>** Aliquota della resistenza di progetto verticale dovuto alla resistenza laterale.

**Q<sub>Rd,O</sub>** Resistenza di progetto orizzontale.

**M<sub>max,O</sub>** Momento massimo lungo il palo per carichi orizzontali.

**T.R.** Modalità di rottura per carico limite orizzontale (Palo Corto, Palo Medio, Palo Lungo).

**Z<sub>c,pls</sub>** Profondità della seconda cerniera plastica.

**CS<sub>v</sub>** Coefficiente di sicurezza per azioni verticali ([NS] = Non Significativo per valori di CS >= 100; [VNR]= Verifica Non Richiesta).

**CS<sub>o</sub>** Coefficiente di sicurezza per azioni orizzontali ([NS] = Non Significativo per valori di CS >= 100; [VNR]= Verifica Non Richiesta).

## PALI - VERIFICHE A CARICO LIMITE VERTICALE E ORIZZONTALE ALLO SLD

### Pali - Verifiche a carico limite verticale e orizzontale allo SLD

| Id <sub>PI/Pnt</sub> PI | Id <sub>Nd,sup</sub> | Q <sub>Ed,V</sub><br>[N] | Q <sub>Ed,O</sub><br>[N] | Q <sub>Rd,V</sub><br>[N] | Q <sub>Rd,V,Pt</sub><br>[N] | Q <sub>Rd,V,Lt</sub><br>[N] | Q <sub>Rd,O</sub><br>[N] | M <sub>max,O</sub><br>[N-m] | T.R.       | Z <sub>c,pls</sub><br>[m] | CS <sub>v</sub> | CS <sub>o</sub> |
|-------------------------|----------------------|--------------------------|--------------------------|--------------------------|-----------------------------|-----------------------------|--------------------------|-----------------------------|------------|---------------------------|-----------------|-----------------|
| PALO8                   | 00018                | 3.890.1<br>50            | 43.586                   | 9.085.1<br>90            | 4.411.15<br>1               | 4.674.03<br>9               | 420.281                  | 908693                      | Palo Lungo | 3,12                      | 2,34            | 9,64            |
| PALO10                  | 00017                | 3.825.8<br>46            | 33.991                   | 8.550.7<br>67            | 4.151.67<br>1               | 4.399.09<br>6               | 374.740                  | 837913                      | Palo Lungo | 3,04                      | 2,24            | 11,02           |

**Pali - Verifiche a carico limite verticale e orizzontale allo SLD**

| Id <sub>PI/Pnt</sub> | Id <sub>Nd,sup</sub> | Q <sub>Ed,V</sub><br>[N] | Q <sub>Ed,O</sub><br>[N] | Q <sub>Rd,V</sub><br>[N] | Q <sub>Rd,V,Pt</sub><br>[N] | Q <sub>Rd,V,Lt</sub><br>[N] | Q <sub>Rd,O</sub><br>[N] | M <sub>max,O</sub><br>[N·m] | T.R.       | Z <sub>c,pls</sub><br>[m] | CS <sub>v</sub> | CS <sub>o</sub> |
|----------------------|----------------------|--------------------------|--------------------------|--------------------------|-----------------------------|-----------------------------|--------------------------|-----------------------------|------------|---------------------------|-----------------|-----------------|
| PALO12               | 00016                | 3.610.2<br>55            | 24.044                   | 8.550.7<br>67            | 4.151.67<br>1               | 4.399.09<br>6               | 374.740                  | 837913                      | Palo Lungo | 3,04                      | 2,37            | 15,59           |
| PALO14               | 00015                | 3.279.5<br>78            | 14.099                   | 8.550.7<br>67            | 4.151.67<br>1               | 4.399.09<br>6               | 374.740                  | 837913                      | Palo Lungo | 3,04                      | 2,61            | 26,58           |
| PALO15               | 00014                | 2.886.9<br>93            | 8.016                    | 8.550.7<br>67            | 4.151.67<br>1               | 4.399.09<br>6               | 374.740                  | 837913                      | Palo Lungo | 3,04                      | 2,96            | 46,75           |
| PALO16               | 00013                | 2.508.0<br>37            | 14.252                   | 8.550.7<br>67            | 4.151.67<br>1               | 4.399.09<br>6               | 374.740                  | 837913                      | Palo Lungo | 3,04                      | 3,41            | 26,29           |
| PALO13               | 00012                | 2.186.4<br>56            | 24.217                   | 8.550.7<br>67            | 4.151.67<br>1               | 4.399.09<br>6               | 392.379                  | 897764                      | Palo Lungo | 3,11                      | 3,91            | 16,20           |
| PALO11               | 00011                | 1.956.9<br>76            | 33.950                   | 8.550.7<br>67            | 4.151.67<br>1               | 4.399.09<br>6               | 506.517                  | 1316720                     | Palo Lungo | 3,53                      | 4,37            | 14,92           |
| PALO9                | 00010                | 1.862.3<br>02            | 42.821                   | 8.550.7<br>67            | 4.151.67<br>1               | 4.399.09<br>6               | 550.924                  | 1493619                     | Palo Lungo | 3,68                      | 4,59            | 12,87           |
| PALO7                | 00009                | 1.942.5<br>40            | 49.941                   | 8.550.7<br>67            | 4.151.67<br>1               | 4.399.09<br>6               | 506.517                  | 1316720                     | Palo Lungo | 3,53                      | 4,40            | 10,14           |
| PALO5                | 00008                | 2.162.3<br>58            | 55.238                   | 8.550.7<br>67            | 4.151.67<br>1               | 4.399.09<br>6               | 392.379                  | 897764                      | Palo Lungo | 3,11                      | 3,95            | 7,10            |
| PALO3                | 00007                | 2.480.1<br>85            | 58.619                   | 8.550.7<br>67            | 4.151.67<br>1               | 4.399.09<br>6               | 374.740                  | 837913                      | Palo Lungo | 3,04                      | 3,45            | 6,39            |
| PALO2                | 00006                | 2.847.6<br>84            | 59.652                   | 8.550.7<br>67            | 4.151.67<br>1               | 4.399.09<br>6               | 374.740                  | 837913                      | Palo Lungo | 3,04                      | 3,00            | 6,28            |
| PALO1                | 00005                | 3.239.4<br>08            | 58.612                   | 8.550.7<br>67            | 4.151.67<br>1               | 4.399.09<br>6               | 374.740                  | 837913                      | Palo Lungo | 3,04                      | 2,64            | 6,39            |
| PALO4                | 00004                | 3.581.9<br>83            | 55.194                   | 8.550.7<br>67            | 4.151.67<br>1               | 4.399.09<br>6               | 374.740                  | 837913                      | Palo Lungo | 3,04                      | 2,39            | 6,79            |
| PALO6                | 00003                | 3.808.0<br>70            | 49.941                   | 8.550.7<br>67            | 4.151.67<br>1               | 4.399.09<br>6               | 374.740                  | 837913                      | Palo Lungo | 3,04                      | 2,25            | 7,50            |

**LEGENDA:**

**Id<sub>PI/Pnt</sub>** Identificativo del palo o del plinto su pali.

**PI**

**Id<sub>Nd,sup</sub>** Identificativo del nodo all'estremo superiore del palo o della pilastrata cui il plinto è collegato.

**Q<sub>Ed,V</sub>** Carico verticale di progetto.

**Q<sub>Ed,O</sub>** Carico orizzontale di progetto.

**Q<sub>Rd,V</sub>** Resistenza di progetto verticale.

**Q<sub>Rd,V,Pt</sub>** Aliquota della resistenza di progetto verticale dovuto alla resistenza alla punta.

**Q<sub>Rd,V,Lt</sub>** Aliquota della resistenza di progetto verticale dovuto alla resistenza laterale.

**Q<sub>Rd,O</sub>** Resistenza di progetto orizzontale.

**M<sub>max,O</sub>** Momento massimo lungo il palo per carichi orizzontali.

**T.R.** Modalità di rottura per carico limite orizzontale (Palo Corto, Palo Medio, Palo Lungo).

**Z<sub>c,pls</sub>** Profondità della seconda cerniera plastica.

**CS<sub>v</sub>** Coefficiente di sicurezza per azioni verticali ([NS] = Non Significativo per valori di CS >= 100; [VNR]= Verifica Non Richiesta).

**CS<sub>o</sub>** Coefficiente di sicurezza per azioni orizzontali ([NS] = Non Significativo per valori di CS >= 100; [VNR]= Verifica Non Richiesta).